

UNIVERSITÄTSKLINIKUM HAMBURG-EPPENDORF

Institut für Anatomie und Experimentelle Morphologie

Prof. Dr. med. Udo Schumacher

Ein dynamisches Modell für Tumorwachstum und Metastasierung

Dissertation

zur Erlangung des Grades eines Doktors der Medizin
an der Medizinischen Fakultät der Universität Hamburg.

vorgelegt von:

Dr. rer. nat. Volker Haustein
aus Lübbecke

Hamburg 2012

**Angenommen von der
Medizinischen Fakultät der Universität Hamburg am: 09.04.2013**

**Veröffentlicht mit Genehmigung der
Medizinischen Fakultät der Universität Hamburg.**

Prüfungsausschuss, der/die Vorsitzende: Prof. Dr. U. Schumacher

Prüfungsausschuss, zweite/r Gutachter/in: Prof. Dr. J. Mester

Prüfungsausschuss, dritte/r Gutachter/in: Prof. Dr. M. Trepel

METHODOLOGY

Open Access

A dynamic model for tumour growth and metastasis formation

Volker Haustein* and Udo Schumacher

Abstract

A simple and fast computational model to describe the dynamics of tumour growth and metastasis formation is presented. The model is based on the calculation of successive generations of tumour cells and enables one to describe biologically important entities like tumour volume, time point of 1st metastatic growth or number of metastatic colonies at a given time. The model entirely relies on the chronology of these successive events of the metastatic cascade. The simulation calculations were performed for two embedded growth models to describe the Gompertzian like growth behaviour of tumours. The initial training of the models was carried out using an analytical solution for the size distribution of metastases of a hepatocellular carcinoma. We then show the applicability of our models to clinical data from the Munich Cancer Registry. Growth and dissemination characteristics of metastatic cells originating from cells in the primary breast cancer can be modelled thus showing its ability to perform systematic analyses relevant for clinical breast cancer research and treatment. In particular, our calculations show that generally metastases formation has already been initiated before the primary can be detected clinically.

Keywords: Breast cancer, Computational calculations, Gompertzian growth function, Tumour growth models, Metastasis formation

Background

In the mathematically oriented medical literature different models are applied to describe the process of tumour growth and metastasis formation. Most of these models fall in one of the three following categories: The first ones are discrete models on the basis of single cell interactions which are then described by the aid of M^{te} Carlo simulations. The second ones are complex mathematical analyses of continuum models on the base of differential equations. A good overview of these approaches can be found in the articles of Ward and King [1,2] and Roose, Chapman and Maini [3]. A third interesting alternate ansatz was developed by Iwata, Kawasaki and Shigesada [4,5] which is in the following referred to as the IKS-model. They model metastasis formation from the primary tumour and from metastases from metastases and give complex analytical solutions for the density respective the abundance of metastatic colonies depending on different growth functions of the primary tumour.

All the abovementioned methods have the disadvantage of complex re-analysis or the need for time consuming numerical re-calculations when input functions or constraints are to be varied. Systematic investigations and the analysis of metastasis modulating events or treatment effects upon metastasis formation are limited due to the complexity or the computing power required.

In the following a mathematical model is presented which is based upon a series of successive generations of tumour development. This model enables a fast calculation of macroscopic relevant entities of the metastatic cascade. The entire programming was carried out in the C language using the graphical analysis package *root*, developed at CERN [6].

Results

The computational model

Metastasis formation is a complex process often referred to as a cascade as each step has to be performed in a certain order. It is initiated, when the first primary malignant cell starts to proliferate. If the developing primary tumour has reached a certain size, it sends out angiogenetic signals and blood vessels grow into the primary tumour. The future

* Correspondence: vohauste@uke.de
Institute of Anatomy and Experimental Morphology, University Hospital
Hamburg-Eppendorf, Martinistraße 52, D-20246 Hamburg, Germany

metastatic cell has to dissolve itself from the tumour mass by loosening of cell to cell contacts and has to degrade the basal lamina and the surrounding connective tissue. Having achieved this step in malignant progression, the future metastatic cell has to enter the bloodstream by migrating through the blood vessel endothelium. Once arrived in the circulation, the future metastatic cell has to survive in it and has to attach to the endothelium in the organ of the future metastasis. After attachment to the endothelial cell, the cell has to transmigrate through the endothelium and has to lodge in the stroma of the host organ. Presumably under the influence of local growth factors, the metastatic tumour cell has to proliferate in order to become a clinically detectable metastasis.

The characterized cascade can be effectively modelled by following this chronology of the events and making some realistic assumptions on the underlying distribution functions. This approach will be outlined in the following.

At each stage or generation of development a malignant cell inside a tumour has three possibilities: mitosis with doubling, apoptosis or migration into the next compartment where it becomes a potential metastatic cell. Each of these processes follows an exponential distribution with a characteristic constant $\lambda_{a,m,d} = \log(2)/T_{a,m,d}$. With the restriction of no overlap in time, that implies that the 1st started process will be executed, this results in a common exponential with $\lambda_G = \lambda_d + \lambda_a + \lambda_m$ and a time per generation $T_G = \log(2 \cdot d)/\lambda_G$. The fractions $\lambda_{a,m,d}/\lambda_G$, takes the values a, d and m and fulfil the constraint $a + d + m = 1$; the numbers are not necessarily constant over all considered generations. After n cycles this leads to $(2 \cdot d)^n$ tumour cells. The number of potential metastatic cells is simply $\Sigma(2 \cdot d)^{(n-1)} \cdot m$. Either taking $m(n) = m \cdot \delta^n$ or for calculation purposes more convenient leaving m constant and multiplying with a power of the actual number of cells, a metastasis formation process proportional to tumour volume V ($\delta=1$), surface $V^{2/3}$ or diameter $V^{1/3}$ ($\delta < 1$) can be realized. Different interactions in the environment of the tumour or inside the lymphatic or blood vessel system will then lead to a finite life cycle of these disseminated cells either while being killed by the immune system respective by apoptosis or due to successful colonisation into the stroma of a peripheral organ. Again we assume an exponential distribution; now with the decay constant $\lambda_{env} = \lambda_k + \lambda_c$.

In continuation of the generation model with the time steps T_G we have to distinguish between cells that just enter the circulation and those that have already populated the blood or lymphatic system. The later group are surviving cells originating from former generations which had already entered circulation prior to the actual time step T_G . These cells will simply be successively reduced by a factor $F = \exp[-\lambda_{env} \cdot T_G]$. Accordingly the part $(1-F)$ will be eliminated from the blood system. In

our model only the small fraction λ_c/λ_{env} of these cells will each colonise and develop metastases. The mean time point can be calculated by integrating the distribution function of such an exponential decay. The other group of cells, cells that just enter the circulation are subject to a different treatment. The process of creation and immediate elimination during the same time step T_G has to be accounted for. Number of surviving cells as well as mean time point and number of colonizing cells can be calculated by the combination of both the distribution function for dissemination into the blood stream and function for subsequent colonization of the stroma. Especially when the time scales for the life cycle T_{env} in the environment respective the generation time T_G differs significantly, this approach is necessary to calculate a more precise time of 1st metastasis formation.

From the computational point of view simply a loop over N generations was generated, where each cycle generates the cell size of the primary tumour, number of disseminated cells in the blood or lymphatic vessels and the number of metastatic cells per T_G and in total at time $n \cdot T_G$. Following the same strategy and by the use of recursion techniques the development in time of per T_G released metastatic cells and the process of secondary respective multiple metastases formation from metastases was calculated. If not indicated otherwise the further calculation is performed under the assumption, that metastases grow with the same speed and to the same maximal tumour size as the primary tumour.

Modelling tumour growth: the Gompertz-function

In the following we will demonstrate the features of our straightforward strategy using the widely used Gompertzian growth function given by $g(x) = \mu \cdot x \cdot \log(b/x)$. The parameter b is the asymptotic maximal reachable cell or tumour size and μ is the growth constant. Integration gives a tumour size of $G(t) = b(1 - \exp(-\mu \cdot t))$. For metastasis formation a rate of the following form was taken by IKS: $\beta(x) = \gamma \cdot x^\alpha$. The parameter γ is simply the colonization coefficient and α stands for the fractal dimension of blood vessels infiltrating the tumour. In principle α denotes the fraction of tumour cells which participate in metastasis formation. For example $\alpha = 2/3$ reflects a superficial angiogenesis of the tumour and dissemination occurs then notably only from the surface.

From the above given equation for G(t) the initial characteristic doubling time T_D can be calculated to $T_D = -1/\mu \cdot \log(1 - \log(2)/\log(b))$. In our model only the fraction d leads to further tumour growth, this simply translates to $T_G = T_D \cdot \log(2 \cdot d)/\log(2) = \log(2 \cdot d)/\lambda_G$. To realize the Gompertzian like bending behaviour two different models were used. In the 1st model - the Metabolic Stagnation model (MS-model) - a per generation variation of T_G with $\log(b)/\log(b/x)$ was taken, where x denotes the tumour size

before starting a new generation of tumour cells. In the 2nd model, a continuous decreasing of the doubling rate was assumed; the numbers can be calculated by a fit to a given Gompertzian growth. With the constraint $a + d + m = 1$ this reduction is compensated by a successive increasing of the number of apoptotic cells. This approach lets the generation time constant over the entire live cycle of the tumour and will be referenced to as the model of **Generation Dependent Rates (GDR-model)**. Our approach takes the biology of the cell cycle into account and represents an approximation of the Gompertzian growth. Especially the S-shaped bending in the saturation region of the growth curve is not perfectly reproduced. An over-estimate of the tumour volume of up to 10% depending on the weights during the fit procedure remains for the GDR-model. The MS-model fits marginally better, but possesses the same tendency. Figure 1 shows the simulation results for a hepatocellular carcinoma fitted by the IKS-model [4]. In this specific case chemotherapy started 639 days after initial diagnosis of the primary tumour. Due to this long onset, information about nearly undisturbed tumour growth as well as number and growth of metastases, which were detected for the 1st time on CT-images 432 days after primary diagnosis, are available. The values which we adopted from IKS were the cell size $b = 7.3 \cdot 10^{10}$ cells and $\mu = 0.00286 \text{ day}^{-1}$, which leads to an initial doubling time T_D of 9.8 days. As aforementioned in the 1st simulation step of our model of successive generations of tumour cells three concurrent processes are considered: doubling, apoptosis and dissemination respective migration into the next compartment. The branching ratio for cell doubling d to the combined term of apoptosis and migration $a + m$ was set to 2:1. This somewhat arbitrary

choice has the advantage of both, smaller simulation time steps T_G because of the relation $T_G = T_D \cdot \log(2-d)/\log(2)$ and the possibility of a variation of the rate for migration in a wide range with respect to the constraint $a + d + m = 1$. Dissemination from the primary occurs at a calculated ratio of $m = 2.49 \cdot 10^{-6}$ to get the identical number of metastases as given by IKS for day 432 after diagnosis at a colony size of $\sim 4.6 \cdot 10^7$ cells. In the 2nd simulation step the disseminated and potential metastatic cells will be followed up. The ratio for elimination by the immune system respective successful colonisation was taken to 10^{-4} at a mean lifetime of the tumour cells in the bloodstream of 1 day. Tumour growth and the different simulation steps of the developing cascade are shown for the MS-model. The tumour growth function is in return underlayed with a fit of the Gompertzian growth with $b = 7.321 \cdot 10^{10}$ cells and $\mu = 0.00296 \text{ day}^{-1}$. The full blue line shows the number of per generation colonizing cells with the characteristic maximum at the time, when the variation of the Gompertz function has its maximum $d/dt[dG/dt] = 0$. The green asterisk stands for the cumulative numbers of 1st order colonies.

The broad accordance of our rather simple model with the analytical solution of IKS is shown in Figure 2, where the cumulated number of metastases from the primary and higher, up to the 3rd order metastases is plotted for both models. In the original article [4] a complex solution for the density of metastases and meta-metastases is given. The cumulated number of colonies of a given size can be obtained by integrating the density and taking the positive real and the adjacent 16 complex residues for the calculations; please refer to the original article for a deeper

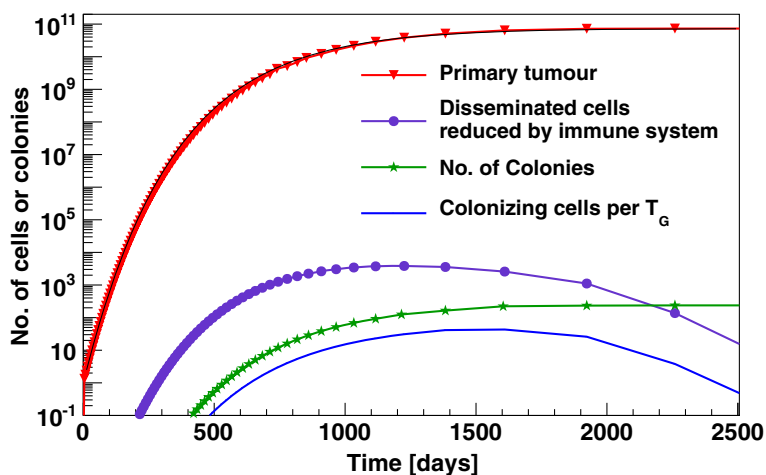


Figure 1 Dynamic of tumour growth and metastasis formation in the MS-model. Tumour development and number of disseminated cells at different steps of the simulation as a function of time. The calculations were done for a real hepatocellular carcinoma; maximal reachable tumour size and growth rate was originally fitted by the IKS-model with a Gompertzian growth function. The rates for metastasis formation in the MS-model were adjusted to give the same number of visible colonies as the analytical solution of the IKS-model.

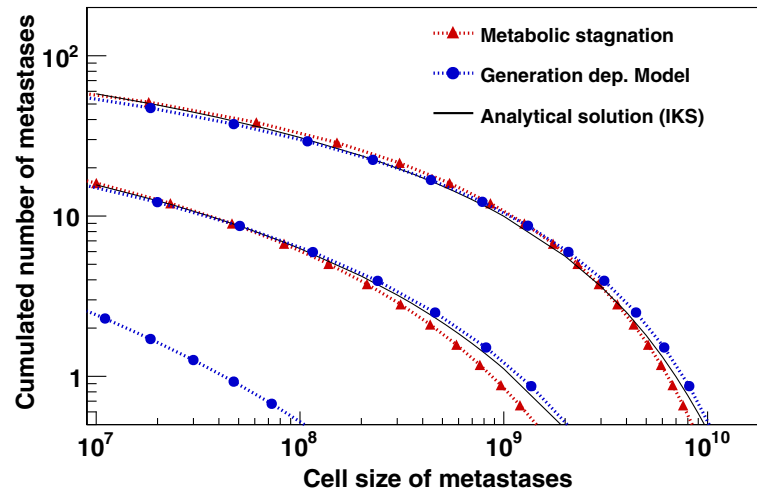


Figure 2 Comparison of the cumulated number of metastases in the MS- and GDR-model with the IKS-model. Cumulated number of metastases derived from the primary tumour and the 1st order metastases for the MS- and GDR-model with the analytical solution from IKS-model. The days 432 (lower band) and 632 (upper band) after diagnosis of the primary tumour were chosen, which occurred 678 days after the initiation of the tumour. The clinical data were initially fitted by IKS for a hepatocellular carcinoma following the Gompertzian growth function with a rate for metastasis formation proportional to $V^{6/3}$. To get an impression of the influence of the metastases from metastases formation the contribution of the 2nd order metastases is shown separately for the GDR-model in the lower left corner. The 2nd order metastases formation from MS is below the chosen range.

understanding of the details of the analytical solution. Different to the MS-model, where the same set of parameters were used as shown above, in the GDR-model the 1st of both metastasis steps was assumed to be proportional to $V^{2/3}$. This is in accordance with the IKS-model where the fit gives a value of 0.663 for the fractal dimension α . The initial rate for doubling $d_i = 2/3$ was selected to be identical as the one for the MS-model. The difference between d_i and the final $d_f = 1/2$ was then obtained by a step by step decrease of d_i by 1.23%. This value was calculated by a fit of our approach to the given Gompertzian function. Due to the normalization procedure at a colony size of $\sim 4.6 \cdot 10^7$ cells the rate for dissemination from the primary tumour was calculated to be $m = 1.17 \cdot 10^{-3}$. The combination of the ratios for dissemination and the 10^{-4} for colonisation in the GDR-model is comparable with the $5.3 \cdot 10^{-8} \text{ day}^{-1}$ given by IKS. Both models are in good agreement with the analytical solution on day 432 but also on day 632 when metastases had progressed. Differences can be observed when the total number of clinically not detectable metastases including single cells was examined. Both of our models reach only a level of $\sim 70\%$ as compared to the analytical solution. These under-estimates are due to the above-mentioned systematic differences between the Gompertzian function and our approximations. Nevertheless, both models fit the clinical data of the hepatocellular carcinoma with high precision, which is remarkable as different proportionalities for the calculation of metastases formation were used. From a macroscopic point of view,

the MS-model seems to “simulate” metastasis formation proportional to the surface of a tumour. A more detailed view of the dynamics with the same parameter set as above is shown in Figure 3. The total numbers of colonizing cells from the primary and from metastatic tumours are plotted together with the total amount of metastatic cells. The red open symbols stand for the MS- and the filled blue symbols for the GDR-model. About 22 month after initial diagnosis the overall cell size of the 1st order metastases reaches the tumour mass of the primary, about 2 years later this accumulates to the hundredfold primary tumour mass. This calculation corresponds to the time, when the 2nd order metastases would become clinically important. At this time point they provide a tumour mass comparable to the total mass of the 1st order metastases. Of course this calculation only corresponds to the patient if there are no clinical interventions such as surgical removal of the primary tumour and that metastases grow at the same rate as primary tumours do. An excision or a total embolisation of the tumour at the earliest time would lead to a significant decrease of 1st order metastatic tumour mass of about 2 decades (dashed-dotted lines).

In the previous paragraph we proposed two models that describe a mitotic behaviour variable in time, but emanate from biologically totally different approaches. Both models show a Gompertzian like tumour growth and reproduce the metastasis formation of a given hepatocellular carcinoma. Before demonstrating the validity for breast cancer research we next show model systematic spread.

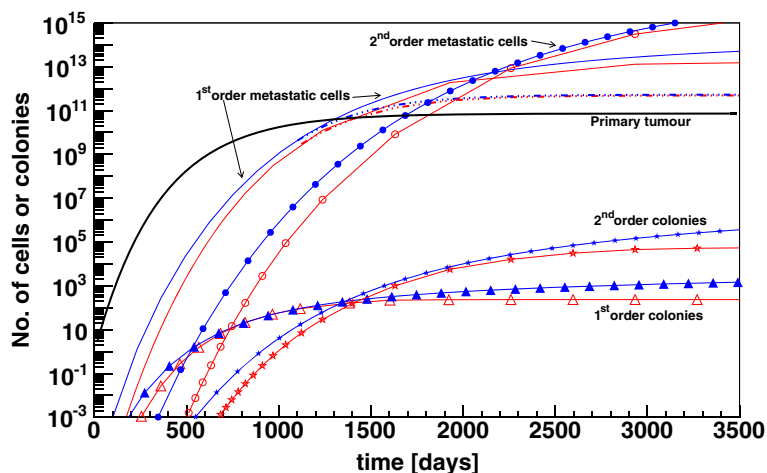


Figure 3 Metastasis formation: number of colonies and metastatic tumour mass. Total amount of metastatic cells as well as total number of 1st and 2nd order colonies. The blue filled symbols represent the GDR-model, the open red stand for the MS-model. The growth function of the primary is also shown; an excision immediately after diagnosis would lead to a decrease of the amount of metastatic cells by 2 decades (dashed-dotted lines). Around day 1300 the amount of metastatic cells equals the primary, two years later the hundred fold is reached and latest from now the 2nd order metastases would dominate the course of disease.

Systematic investigations

From the clinical point of view the most pressing question to be answered by this model is: when does the 1st malignant cell spread out to form a distant metastasis? In the two parts of Figure 4 the mean time T^{1stM} is plotted against the maximal tumour cell size denoted by the parameter b . Each data point consists of 2000–10000 entries, based on randomized “one colonizing cell” events, taken from the former generated metastases distribution function. Tumour growth was followed up for about 25 years; at least for primaries with cell size $\approx 10^9$ metastasis formation will occur in all patients.

As can be deduced from the above given equation for $G(t)$ the characteristic bending of the Gompertzian curve depends both on the maximal tumour size b and the rate parameter μ . On the other hand a constant μ translates in our model into a slightly b dependent initial T_D . For our calculations we choose a T_D of 5, 10 (comparable to the 9.8 days from IKS) and 20 days at a reference cell size of $b = 10^{11}$. To be comparable with the previous results dissemination from the primary occur proportional to V for the MS- respective $V^{2/3}$ for the GDR-model. All rates and the lifetime of the tumour cell were chosen the same as in Figure 2, 3. A lifetime of 1 day is small or comparable to T_D and T_G ; hence a realistic chance for colonisation into the stroma is given only for the time step being disseminated or the following one. A variation of the lifetime of a malignant cell within reasonable limits leads therefore simply to a scaling up of the combined rate of dissemination and colonisation. Our calculations confirm this assumption; systematic

effects except those that can be seen by a variation of the combined rate were not regarded.

In the upper part of Figure 4 results are shown for the MS-model for the three different developments of the tumour growth with time given by $T_D = 5, 10$ and 20 days (dashed-dotted lines with black filled circles). In the lower part of Figure 4 the corresponding data for the GDR-model are presented. To demonstrate that systematic differences between our models exist we include in both parts two further curves: The red lines with open circles represents a by one tenths reduced tumour growth rate, the blue lines and circles show the dissemination step following the next logical lower power of V^m , corresponding to the series volume, surface and diameter. For small maximal tumour sizes within the MS-model, T^{1stM} takes a constant and depends only on the bending behaviour of the tumour growth curve with time. The graphs with the reduced rate and the lowered dependency to $V^{2/3}$ underline this strong correlation. The value for T^{1stM} fits reasonable well with the time when the variation of the Gompertz-function has reached its maximum, or when it is expressed with an equation when $d/dt[dG/dt] = 0$. Since the dissemination step is coupled to mitosis this corresponds to the time-point when maximal metastases formation occurs. The probability for metastases formation is for small maximal cell sizes b in the percentage level and increases to 1 at around $b = 10^9$ cells. It is obvious that the MS-model would be able to describe a tumour entity which shows an extreme early but low rate of metastasis formation. In particular, in the next section we will argue that the MS-model is a suitable candidate to describe a

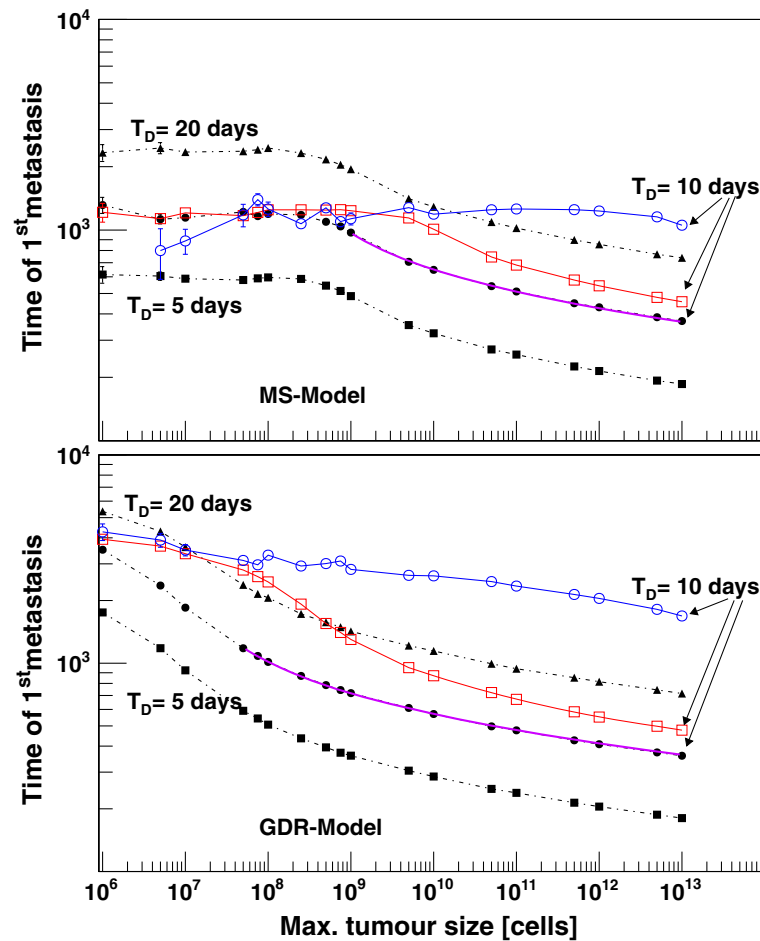


Figure 4 Time point of 1st metastasis formation for the MS- and GDR-model. Time of 1st metastasis formation as a function of maximal tumour size b of the Gompertz function. Results for the MS-model are shown in the upper, those for the GDR-model in the lower part. The simulations were calculated for three different rate parameters μ , which corresponded to an initial doubling time of 5, 10 and 20 days at a reference cell size of 10^{11} , respectively. The rates for metastasis formation were chosen the same as in Figures 2, 3 (black symbols) or reduced by one tenths (red symbols). Dissemination occurred proportional to V (MS-model) and $V^{2/3}$ (GDR-model). For the blue graphs a reduced dissemination ($V^{2/3}$ and $V^{1/3}$) was expected.

subgroup of breast cancer data. The monotonous decreasing data points above 10^9 cells and the range $b > 5 \cdot 10^7$ cells for the GDR-model can be fitted with $f(b) = -\gamma/\mu \cdot \log(1 - \log(\beta)/\log(b))$; a functional relation which is already known in a similar form from the combination of μ with T_D . The parameter γ is simply a scaling factor and β depends both on μ or T_D and the dissemination characteristics V^m . For the GDR-model the comparison of the three graphs of $T_D = 10$ days but with different rates or dissemination characteristics emphasize again that a common asymptotic value for T^{1stM} will be reached if small tumour sizes are considered. Different to the MS-model, the GDR-model T^{1stM} does not correspond to the maximum of the variation of the Gompertzian growth. If the follow up time is sufficiently long, metastases formation will occur even if the primary does not change its size any longer as it has

reached its maximum size. In contrast to the MS-model where metastases start early and with low rate the metastases in the GDR model will colonize relative late but more frequent. This metastatic pattern reflects the fundamental differences between the two models. On one hand we assume a continuous prolongation of the tumour generation time T_G . This involves a naturally ageing of the cells with slower and slower running processes but with a regular and balanced sequence in mitosis and apoptosis. On the other hand we have highly active tumour cells; T_G remains constant but everything run with a high and lethal error rate. The fraction for doubling and apoptosis are shifted against each other which results in the decreasing tumour growth. Both models find their analogy in the biology of cells. It is known that a misbalance of anabolic and metabolic processes, reduced concentrations of enzymes

or a failure in signal transduction is jointly responsible for an ageing of cells. Inadequate repair mechanism or missing stop signals in time during G_0 -phase of mitosis on the other hand leads to a slightly increasing of unformed and later apoptotic cells.

A clinical application in breast cancer

After having adjusted our mathematical model to the IKS data, we wanted to expand its application to the breast cancer data from the Munich Cancer Registry (MCR) [7,8]. We followed their argument that the mean age of women, who have different pTx category at the time of initial diagnosis of breast cancer, reflects the mean tumour growth. This assumption should at least be valid for small tumours of the pT1 and pT2 categories. Expecting a Gompertzian growth function, the initiation of tumour growth and the bending behaviour for different maximal tumour cell sizes can then be fitted. The data from Munich cancer registry give a mean age of 57 years for pT1 and 58.1 years for pT2 indicating a mean time of 1.1 years for progression from pT1 to pT2. Metastasis formation at time of initial diagnosis was observed in 1.1% of the pT1 cases and 4.2% for pT2 cases. No discrimination was made concerning histological grade, oestrogen-receptor positivity or lymph node involvement. It must also be noted, that the mean age of pT3 patients with 55.9 years is younger than that of both pT1/2 patients and pT4 patients which showed an unexpectedly high mean age of 65.3 years. Without studying the age distributions inside the groups in detail we have no definite explanation why pT3 tumours do manifest at younger-aged patients. One reason could be that an extremely aggressive or fast growing subgroup of cancer is responsible for this effect. The relative high proportion of G3 and oestrogen-receptor-negative cases points toward that explanation. Particularly the small numbers of 671 patients for pT3 (5772 for pT1, 4897 for pT2, 1092 for pT4) are surprising. Because of these inconsistencies within the age distribution data from pT3/4 patients were not taken into consideration. Nevertheless the numbers of cases with metastasis formation with 9.7 and 21%, respectively, should be kept in mind, as they could give some clues about the development in time for an untreated pT1/2 tumour. For pT1 tumours a mean diameter of 14 mm, 28 mm for pT2 and 60 mm for pT4 were given [7]. The volume of a single cell was assumed to be $10^3 \mu\text{m}^3$. To investigate whether our results depend crucial on this estimate, calculations were done with different quotients of the volume of a primary and a metastatic cell; the results are summarized in Table 1. The diameter of visible metastases was expected to be 4.57 mm corresponding to a colony size of $5 \cdot 10^7$ cells, if primary and metastatic cells are equal in volume, or $1 \cdot 10^8$ cells, if a metastatic cell has only half of the volume of a primary tumour cell. In Figure 5 the probabilities for metastases formation at different stages of

tumour development are plotted against the maximal reachable tumour size b . Each data point represents the mean of 2000 randomized courses of disease, each based on integer-disseminated cells taken from the former simulated time distribution of the colonizing metastases. The data are normalized to the abovementioned 1.1% at pT1 stage (black line). A comparison with the rates used for the hepatocellular carcinoma shows a considerable agreement between the two tumour entities. For example, a breast cancer primary with $7 \cdot 10^{10}$ cells in the asymptotic region and dissemination proportional to $V^{2/3}$ as used in Figures 1, 2, 3 shows only a 2.5 higher factor for the rates of $3.6 \cdot 10^{-7} \text{ day}^{-1}$ for the GDR-model than those used for the hepatocellular carcinoma in the IKS model. The red markers and lines in Figure 5 show the calculated probabilities for metastasis formation at time of 1st diagnosis for pT2 category. The blue lines and symbols represent the calculated probabilities for tumours of 60 mm in diameter, which only corresponds to the mean size of a pT4 tumour and not to the mean age information as given by the Munich Cancer Registry. Nevertheless, for reasons of simplicity in the further context we will speak of pT4-stage tumours.

In the upper part of Figure 5 simulation results are shown for the MS-model with dissemination proportional to $V^{2/3}$ and $V^{1/3}$, the lower part shows the results for the GDR-model, again with a $V^{2/3}$ and $V^{1/3}$ dependency. For both models a variation of the growth characteristics with an artificially slowed down growth behaviour of the metastatic cells are calculated and included in the plots. For the GDR-model this growth behaviour was achieved by starting the metastatic growth process with the doubling rate of the time step the malignant cell has being disseminated. Taking the same generation time T_G and error rate for mitosis as for the primary tumour, a reduced initial doubling rate consequently leads to a reduced maximal colony size of the metastases. The modified growth function for the MS-model was achieved by starting the metastatic growth just with the prolonged T_G of the generation the cell was disseminated. The ageing process is inherited. These colonies will reach the same maximal size as the primary but need for this growth significantly more time. Figure 5 clearly demonstrates that the metastases formation rate of 4.2% at time of initial diagnosis for pT2 patients and also the 21% for the pT4 patients can hardly be reached. Dependencies as $V^{1/3}$ for the MS-model or even lower ones for the GDR-model are needed for the dissemination step, in order to achieve partly congruence between the clinical breast cancer data and our calculated probabilities.

Tumours of pT1 stage are in diameter just 3 times larger than our current clinical detection limit. To detect metastases of nearly equal size as the primary tumour indicates that the metastasis initiating cell must have been disseminated extremely early during tumour progression and even

Table 1 Probability and time of 1st metastasis formation

Dissemination from primary	Metastases growth characteristics	Single Cell size [10 ³ μm ³]		MS-Model			Mean time of 1 st colonizing cell [months]	GDR-Model			Mean time of 1 st colonizing cell [months]
				Metastasis Formation [%]				Metastasis Formation [%]			
				Prim.	Meta.	Visible at pT2		Visible at pT4	Before pT1	Visible at pT2	
V	P	1	1	95.0	100.0	100.0	22.6	99.5	100.0	100.0	23.7
		2	1	93.3	100.0	100.0	22.1	97.0	100.0	100.0	23.3
V ^{2/3}	P	1	1	36.6	100.0	100.0	27.5	48.2	100.0	100.0	28.3
		2	1	32.3	100.0	100.0	27.5	40.5	100.0	100.0	28.1
		1	0.5	41.2	100.0	100.0	23.9	60.7	100.0	100.0	24.7
	A	1	1	10.6	87.9	100.0	16.2	5.5	22.7	71.6	13.4
		2	1	9.5	79.6	100.0	17.1	5.8	24.2	89.1	14.1
V ^{1/3}	P	1	0.5	10.3	90.5	100.0	14.5	6.0	25.2	77.7	11.9
		1	1	6.9	42.4	45.9	53.1	9.4	63.9	61.2	45.2
		2	1	6.6	44.4	59.2	51.2	8.4	58.2	76.6	45.2
	A	1	0.5	7.9	54.1	63.9	49.4	10.9	75.4	80.3	40.0
		1	1	4.0	17.3	98.1	29.5	2.5	6.1	15.2	22.7
		2	1	4.5	17.2	99.3	30.7	3.5	7.9	22.1	23.6
		1	0.5	5.0	20.2	99.8	25.8	3.5	8.7	19.9	19.6

Summary of the simulation results for the interval [7.5·10¹¹, 1.25·10¹² cells] of the maximal reachable tumour size. The normalisation to 1.1% at pT1 was done in the same way as described for Figure 5. The mean values are given for the probability of metastasis formation visible at pT2 and pT4 stage as well as mean time and probability that the primary has spread before the time of 1st diagnosis at stage pT1. Metastases grow like the primary (P) or with a model dependent artificial reduced behaviour (A). The volume of a primary or metastatic tumour cell was varied by a factor of two, therefore visibility was assumed to occur at a minimal colony size of 5·10⁷ and 1·10⁸ cells.

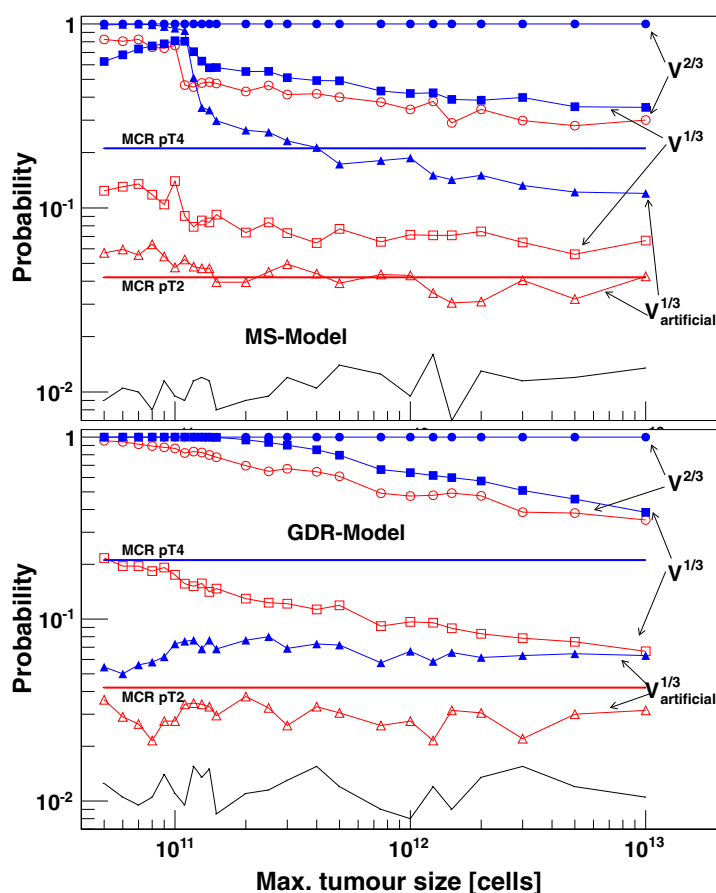


Figure 5 Probability of metastasis formation for tumours of pT2 and pT4-stage. Simulation results for the probability of metastasis formation as a function of maximal reachable tumour size b of the Gompertz function. Calculations are shown for dissemination of malignant cells from the primary proportional to $V^{2/3}$ and $V^{1/3}$; the MS-model is shown in the upper, the GDR-model in the lower part. For the $V^{1/3}$ proportionalities models with artificial, but reasonable reduced growth of the metastases are included. The black and red dashed lines denote the Munich Cancer Registry probabilities for pT2 and pT4. The normalisation to 1.1% at pT1-stage (black line) was calculated for the entire interval $[5 \cdot 10^{10}, 10^{13}]$ cells of maximal tumour sizes; only one typical curve is shown for each plot. For every data point the mean of 2000 randomized courses of disease, each based on integer-disseminated cells, was calculated.

more importantly at a considerable rate of spread. Consequently the numbers of metastases will then increase nearly exponentially. Some mouse models [9] suggest an extremely early start of the dissemination process and are at least therefore in good agreement with our calculations. For reasons of clearness we recapitulate our assumptions: the whole data sample can be described by a single model and pT1 and pT2 mean age reflects the Gompertzian like tumour growth. Then it is mandatory, that either proportionalities $\leq V^{1/3}$ should be taken into account to describe the low clinical probabilities for metastasis formation or the growth characteristics of metastatic cells should be different from that of the primordial stem cell initiating the primary tumour. Our models with the artificially reduced growth functions of the cells within metastases apparently come into the range of the clinical data. Due to the reduced

maximal colony size in the variation of the GDR-model metastases do not become large enough to be clinically detectable and the probability for the presence of metastases at stage pT2 is around 3%. At pT4 the probability falls below 10% where 21% was given for the MCR data. This indicates that the reduced growth as chosen for the GDR model somewhat underestimate the real growth characteristics. Anyhow it clearly demonstrates that a similar mechanism would be helpful to reproduce the data. More favourable is the situation for the MS-model. Metastases that colonize distant organs at a later stage of malignant progression grow much slower than the primary tumour initially did. They remain hidden for a long time (“dormancy”). Under these assumptions we achieve a fair accordance with the data from the cancer registry, both pT2 and pT4-stage probabilities are reproduced. The complete data set is summarized

in Table 1, given are the mean values for the interval $[7.5 \cdot 10^{11}, 1.25 \cdot 10^{12}]$ cells] of the maximal reachable tumour size.

We have verified that a variation of the single cell size of both, primary and metastatic cells in the same direction do not lead to any noteworthy shift in the probabilities of metastasis formation. This is mainly due to the normalization at pT1-stage. To show that our method is in general insensitive to the exact size of a tumour cell calculations where the quotient of metastatic and primary cell diameter varies by a factor ± 2 are also given. Small systematic effects can only be seen for the standard growth behaviour of the metastatic cells. A reduction of the metastatic single cell size to half volume results in a relative 5-10% higher probability for primary metastasis formation at the pT2-stage. This is a direct consequence of the reduced visibility during the normalisation procedure to 1.1% at pT1-stage. On the other hand, doubling of the primary single cell size leads to a smoother bending of the tumour growth curve with a reduced growth rate. The increase in metastasis formation between pT1 and pT2 will therefore also be reduced. Again a 5-10% effect relative to the standard values can be seen.

In the following we will focus on those models in which metastases grow like the primary tumour. The time a primary tumour of the considered size (10^{12} cells) needs to reach the pT1 stage is single cell size dependent 49.4 month for cells of $2 \cdot 10^3 \mu\text{m}^3$ in volume, respective 54.9 month for $10^3 \mu\text{m}^3$ cells. The mean time for the 1st malignant cell to colonize into the stroma of the target organ lay around 23 month for the V-dependency and 28 and 45–53 months for the surface and diameter dependencies, respectively. All time distributions have a full width at half maximum of around 70%. These findings indicate that at least in half of the patients metastasis formation has taken place before the primary tumour became visible. The relative survival after 15 years with an over all metastasis formation rate was calculated to 77.6% for pT1 and 24.1% for pT4 [7], not differentiated by any treatment modalities. The MS- as well as the GDR-model with a $V^{1/3}$ dependency for dissemination would best have the ability to explain the data if a reduction of metastases due to radio- or chemotherapy is incorporated.

Discussion

We proposed a simple model of metastasis formation based on successive series of generations of tumour cells. With relative low computational power our model enables a fast insight into the growth and spreading behaviour of malignant tumours. The modelling itself is independent from the specific growth characteristics of a particular tumour. Here we concentrate on the Gompertzian growth and developed models rooted in the biological behaviour of malignant cells to describe such a growth function.

Inside our framework we have demonstrated which mandatory implications can be deduced from the occurrence of metastases at a definite time. Especially the calculations based upon clinical data support the hypothesis that formation of metastases is a continuous and extreme early event during malignant progression. Our results are in good accordance with the analytical solution of Iwata et al. [4], who calculated their model according to a real clinical case. This accordance is remarkable, because we use a simple, straightforward simulation of successive generations of tumour cells whereas the IKS-model is a complex solution for the development in time of the size distribution of metastases. Moreover we have demonstrated that our models should in principle be able to describe the breast cancer data of the Munich Cancer Registry as well. A combination of different V-dependencies for metastasis formation, a small but fast component that dominates the probability at pT1 stage and a slow $V^{1/3}$ dependency for the further observed low numbers at pT2 and pT4 stages should be able to cover the whole range of growth and metastasis pattern. Additional and more detailed clinical data are however necessary before definite statements can be made.

Conclusions

A novel approach to simulate tumour growth and metastasis formation is presented. Within the framework of our model growth and dissemination characteristics of metastatic cells originating from cells in the primary tumour can be modelled. We adopted our model to clinical breast cancer data thus showing its ability to perform systematic analyses relevant for clinical breast cancer research and treatment. In particular, our calculations using these clinical data show that generally metastases formation has already been happened before the primary tumour can be detected with current clinical methods.

Abbreviations

IKS: The authors Iwata, Kawasaki and Shigesada; MS: Metabolic stagnation; GDR: Generation dependent rates; MCR: Munich Cancer Registry; pT1,pT2,pT3, pT4: histopathological TNM classification of malignant tumours.

Competing interests

The authors declare that they have no competing interests.

Acknowledgements

We thank Prof. N. Shigesada for her comments while performing the numerical calculations of the analytical solution of the IKS-model. We are especially indebted to Dr. J. Prah for reviewing and deeply discussing our mathematical ansatz.

Authors' contributions

VH did the writing of the programme for the calculations and wrote the first version of the manuscript. VH and US contributed and participated equally in the design of the general outline of the work. US helped in finalising and editing of the final version of the manuscript. Both authors read and approved the final manuscript.

Received: 7 January 2012 Accepted: 1 May 2012

Published: 1 May 2012

References

1. Ward JP, King JR: **Mathematical modelling of avascular tumour growth.** *IMA J Math Appl Med Biol* 1997, **14**:36–69.
2. Ward JP, King JR: **Mathematical modelling of avascular tumour growth. II. Modelling growth saturation.** *IMA J Math Appl Med Biol* 1999, **16**:171–211.
3. Roose T, Chapman SJ, Maini PK: **Mathematical Models of Avascular Tumour Growth.** *SIAM Rev* 2005, **49**:179–208.
4. Iwata K, Kawasaki K, Shigesada N: **A Dynamical Model for the Growth and Size Distribution of Multiple Metastatic Tumours.** *J Theor Biol* 2000, **203**:177–186.
5. Struckmeier J: **A Mathematical Investigation of a Dynamical Model for the Growth and Size Distribution of Multiple Metastatic Tumours.** In *Hamburger Beiträge zur Angewandten Mathematik.* 2002:1–13.
6. Brun R, Rademaker F: *Root User's Guide v5.26.* 2011. <http://root.cern.ch/drupal/content/users-guide>.
7. Engel J, Eckel R, Kerr J, Schmidt M, Fürstenberger G, Richter R, Sauer H, Senn HJ, Hölzel D: **The Process of Metastasis for Breast Cancer.** *Eur J Cancer* 2003, **39**:1794–1806.
8. Hölzel D, Engel J, Schmidt M, Sauer H: **Modell zur primären und sekundären Metastasierung beim Mammakarzinom und dessen klinische Bedeutung.** *Strahlenther Onkol* 2001, **1**:10–24.
9. Schumacher U, Adam E: **Lectin histochemical HPA-binding pattern of human breast and colon cancers is associated with metastases formation in severe combined immunodeficient mice.** *Histochem J* 1997, **29**:677–684.

doi:10.1186/2043-9113-2-11

Cite this article as: Haustein and Schumacher: **A dynamic model for tumour growth and metastasis formation.** *Journal of Clinical Bioinformatics* 2012 **2**:11.

Submit your next manuscript to BioMed Central and take full advantage of:

- Convenient online submission
- Thorough peer review
- No space constraints or color figure charges
- Immediate publication on acceptance
- Inclusion in PubMed, CAS, Scopus and Google Scholar
- Research which is freely available for redistribution

Submit your manuscript at
www.biomedcentral.com/submit



Ein dynamisches Modell für Tumorwachstum und Metastasierung

Zusammenfassende Darstellung von Methodik und Ergebnissen

Einführung

Das Krankheitsbild Krebs ist nach wie vor eine der häufigsten Ursachen für Invalidität oder Tod in den westlichen Industrieländern. Trotz umfangreicher Vorsorgemaßnahmen, verbesserter Diagnostik und stetig weiterentwickelter Therapieformen in den letzten 20 – 30 Jahren, kann nicht von einem Durchbruch im Kampf gegen diese Erkrankung gesprochen werden. Krebs rangiert hinter den Herz-Kreislaferkrankungen auf Platz zwei der Todesursachen und wird, auch wenn in den letzten Jahren eine leichte Stagnation bei der Zunahme der Inzidenz zu verzeichnen ist, in den nächsten zwanzig Jahren zur häufigsten Todesursache werden. Etwa jeder vierte Deutsche stirbt an Krebs und ungefähr jeder dritte ist einmal in seinem Leben mit der Diagnose Krebs konfrontiert (Becker und Wahrendorf 2004).

Es ist daher nahe liegend, dass erhebliche Bemühungen in die Erforschung der Tumorentstehung und des Krankheitsbildes Krebs investiert wurden. Dabei wurde sich aus ganz verschiedenen Richtungen der Thematik genähert, von dem sehr detaillierten Blick auf die fehl gesteuerten biochemischen Abläufe, über die Erforschung der genetischen Dispositionen, dem Einfluss von inflammatorischen Mediatoren oder Entzündungszellen, der Einbeziehung von Umwelteinflüssen und Noxen oder über die Einflussnahme durch klinische Intervention, um nur wenige zu nennen. Auch konnten verschiedene Auslöser für einige Krebsarten identifiziert werden, wie Mutationen im RAS-Gen, Papilloma-Viren oder Hyper- und Metaplasien durch Noxen. Andere grundlegende Fragestellungen, wie etwa das Vorhandensein bestimmter Rezeptortypen und Zelladhäsionsmolekülen als Grundvoraussetzung bei der Metastasenbildung, dem weit variierenden dynamischen Wachstumsverhalten verschiedener Krebsarten oder auch bloß von Tochter- und Muttergeschwüren, sind weiterhin allenfalls im Ansatz geklärt.

Ziel der hier beschriebenen Arbeit ist es, einen eher makroskopischen Blick auf Tumorwachstum und Metastasierungsprozess zu werfen. Nicht wie und warum bestimmte Abfolgen durchlaufen werden soll beleuchtet werden, sondern wie sich der zeitliche Ablauf nach außen hin darstellt und welche Implikationen sich aus einem beobachteten, dynamischen Verhalten zwingend ergeben. Dazu wurde ein einfaches und sehr effektives Computermodell entwickelt, mit dem der Wachstumsprozess von Tumoren und das Metastasierungsverhalten nachgebildet werden können. Die eigentliche Modellierung ist dabei unabhängig von der Wahl der speziellen Wachstumscharakteristik eines Tumors oder den Abhängigkeiten, nach denen die Absiedlung maligner Zellen erfolgt. Um die Anwendbarkeit, als auch die Mächtigkeit der Methodik zu demonstrieren, wurde eine häufig in der Literatur herangezogene spezielle Wachstumsfunktion von Tumoren, die Gompertz-Funktion, herangezogen. Dazu wurden zwei neuartige, an die Mitose gekoppelte, biologisch motivierte Modelle entwickelt, um die genannte Wachstumscharakteristik im Rahmen der Methodik nachzubilden. Die Resultate werden einer analytischen, theoretischen Lösung für die Verteilungsdichte von Metastasen gegenübergestellt. An Hand von klinischen Daten des Münchener Krebsregisters zu Brustkrebs wurden zudem der Einsatz und die Aussagekraft der

Methodik geprüft und es werden erste Implikationen aus dem dynamischen Verhalten für das Auftreten von Metastasen dargelegt.

Zunächst jedoch soll dargelegt werden, welche mathematisch, physikalisch motivierte Ansätze in der Literatur beschrieben werden, und wie sich die hier beschriebene Methodik grundlegend davon unterscheidet.

Modellierung von Tumorwachstum und Metastasierung

In der mathematisch medizinischen Fachliteratur sind verschiedene Methoden dargelegt, um Tumorwachstum zu beschreiben. Die meisten Modelle lassen sich grob in zwei Kategorien einteilen:

Das sind zum einen eher diskrete Ansätze auf Basis einzelner Zellinteraktionen, die mit Hilfe von Monte Carlo Simulationen beschrieben werden. Im Rahmen eines aufzustellenden Modells wird als bekannt angenommen, welches die treibenden Kräfte für Wachstum und Metastasierung oder die Apoptose sind. Diese können z.B. Platzbedarf und Nährstoffangebote oder von der Umgebung ausgesandte Wachstums- oder Apoptosefaktoren sein. Ist die Abhängigkeit der weiteren Entwicklung einer Zelle von den betrachteten Größen durch einen geeigneten Ansatz parametrisiert, wird sukzessive ausgelöst werden, welcher Schritt im einzelnen und vor allem wann eingeschlagen wird. Das heißt, die Verteilungsdichten müssen bekannt sein. Typischerweise folgt die zeitliche Abfolge dieser Entwicklungsschritte einer Exponentialverteilung: jeweils ein gleich bleibender Anteil wird innerhalb einer charakteristischen Zeit einen bestimmten Weg einschlagen. Die Abfolge dieser einzelnen Schritte muss für jede Zelle ausgelöst werden. Dabei ist zu beachten, dass sich die Rahmenbedingungen mit jeder einzelnen Interaktion für alle weiteren Schritte geändert haben. Sichtbare Tumore bestehen aus über 10^7 Zellen, es ist verständlich, dass ein immenser Rechen- und Organisationsaufwand aufgebracht werden muss, um Wachstum und Metastasierung hinreichend genau beschreiben zu können.

Die zweite Kategorie umfasst so genannte Kontinuumsmodelle bzw. strömungstheoretische Ansätze, bei denen ein Satz von gekoppelten Differentialgleichungen herangezogen wird, um Tumorwachstum zu beschreiben. Betrachtet wird die Dichte an Zellen in einem kleinen Volumenelement. Eine zeitliche Veränderung bedeutet entweder, dass die Zellzahl durch Mitose oder Apoptose verändert wird, oder dass Zellen herein oder heraus fließen, ein Teilchendichtestrom besteht. Verantwortlich dafür sind z. B. Nährstoffgradienten, die durch Diffusion ausgeglichen werden, aber auch durch Mitose und Apoptose von Zellen verändert werden. Der eigentliche Wachstumsprozess wird als ein räumlich symmetrisches Problem behandelt, der Tumor wächst gleichmäßig nach außen und im Zentrum liegt kein Teilchen- oder Dichtestrom vor. Die aus diesen Betrachtungen abzuleitenden Differentialgleichungen müssen mit zusätzlich eingehenden Randbedingungen numerisch gelöst werden und liefern dann Voraussagen für das Tumorverhalten, wie etwa die zeitliche Verteilung zwischen toten und aktiven Zellen, Tumorgroße, Nährstoffgradienten und weiteren Parametern.

Eine recht ausführliche Beschreibungen beider Herangehensweisen findet sich in dem Übersichtsartikel von Roose, Chapman und Maini (Roose et al. 2005), für die mathematische Ableitung des Differentialgleichungsansatzes sei auf die beiden Artikel von Ward und King (Ward und King 1997, Ward und King 1999) verwiesen.

Einen ganz anderen Weg beschreiten Iwata, Kawasaki und Shigesada (IKS). Sie konzentrieren sich ganz auf den Prozess der Metastasierung (Iwata et al. 2000, Struckmeier 2002). Ziel hierbei ist es, bei bekanntem Wachstumsverhalten des Primärtumors eine Verteilungsdichte für Tochtergeschwüre anzugeben. Die recht komplexe mathematische Herleitung liefert einen analytischen Ausdruck, der für einen Vergleich mit klinischen Daten herangezogen werden kann. Hier soll die dahinter stehende Idee etwas ausführlicher skizziert werden, da später Ergebnisse dieses Modells mit denen unserer Methode verglichen werden.

Angenommen sei der idealisierte Fall, dass sich eine primäre Tumorzelle x_p zur Zeit t_0 mit der Rate $g(x)$ vervielfacht. Der heranwachsende Zellhaufen wird mit einer Rate $\beta(x)$ einzelne Zellen als Metastasen absetzen. Jede dieser Tochterzellen wächst und metastasiert ebenfalls mit den entsprechenden Raten wie der Primärtumor. Da das Wachstumsverhalten als bekannt vorausgesetzt wird, ließe sich sowohl für den Primärtumor als auch für die Metastasen angeben, wie sie sich in einer vorgegebenen Zeit Δt entwickeln werden. Kennt man also die Zahl der Tumoren einer bestimmten Größe zu einem beliebigen Zeitpunkt ausgedrückt durch die Dichteverteilung $\rho(x, t) \cdot \Delta x$, ist damit auch die Zahl der Metastasen bekannt, die innerhalb der Zeitspanne Δt gemäß der Rate $g(x)$ auf eine neue Größe $x + \Delta x$ heranwachsen. Diese Überlegungen lassen sich ebenfalls als Differentialgleichung formulieren. Um eine Lösung finden zu können, müssen genau wie es bei dem strömungstheoretischen Ansatz getan wird, Randbedingungen herangezogen werden: zum Zeitpunkt $t = 0$ gibt es noch keine Metastasen irgend einer Größe und die pro Zeitintervall neu abgesetzten Metastasenzellen ergeben sich aus der bekannten Rate $\beta(x)$, wobei man über den Primärtumor und die Dichte aller Metastasen integriert. Setzt man ein z.B. exponentielles Wachstumsverhalten voraus, ist der Ansatz noch geschlossen lösbar. Wesentlich komplexer stellt sich das Problem dar, wenn die in der Literatur häufig herangezogene Gompertzfunktion $g(x) = \mu \cdot x \cdot \log(b/x)$ angenommen wird. Dabei handelt es sich um eine Parametrisierung, die das Sättigungsverhalten im Wachstumsprozess von Tumoren für große Zeiten beschreibt. Der Parameter b stellt dabei die asymptotisch, maximal erreichbare Tumorgroße dar. Die Wachstumskurve für den Primärtumor ergibt sich leicht durch Integrieren und man erhält: $x_p(t) = b^{(1 - \exp(-\mu \cdot t))}$. Sehr unübersichtlich hingegen wird die Rechnung für die Dichteverteilung der Metastasen, auch wenn ein relativ simpler Ansatz von der Form $\beta(x) = \gamma \cdot x^\alpha$ für die Metastasierungsrate angesetzt wird. Die Herleitung unter zu Hilfe-nahme von Laplace-Transformationen und des Residuensatzes ist in (Iwata et al. 2000, Struckmeier 2002) skizziert. Die Lösung ist nicht mehr geschlossen darstellbar, sondern ergibt sich als unendliche Reihe über von α , μ , γ und b abhängiger, komplexer Residuen. Diese Nullstellen wiederum lassen sich nur näherungsweise berechnen, was bei einer Anpassung an klinische Daten zu einem immensen programmtechnischen Aufwand führt und nicht standardisiert werden kann. Die in (Iwata et al. 2000) angegebene, explizite Lösung für einen hepatozellulären Tumor wird uns bei der Darstellung der Resultate mehrfach begegnen.

Tumorentwicklung aus Generationenfolgen

Bei der Beschreibung von Zuständen oder Abläufen in der Natur, das ist in der Physik nicht anders als in der Biologie oder Medizin, ist man häufig darauf angewiesen, gewisse Einschränkungen und Vereinfachungen vorzunehmen. Die Modelle die man

dann heranzieht, sollen möglichst „einfach“ aber auch „widerspruchsfrei“ sein, zum anderen die interessanten Aspekte hinreichend genau beschreiben und es ermöglichen, Voraussagen machen zu können. Der oben genannte strömungstheoretische Ansatz liefert im Wesentlichen eine makroskopische Beschreibung des Tumorwachstums: nekrotisierender Innenbereich, Sättigungsverhalten oder die Konzentration von aktiven Zellen und der Nährstoffe als Funktion der Tumorausdehnung. All die genannten Größen ergeben sich zwangsläufig aus den gemachten Annahmen. Eine experimentelle Überprüfung wird dann ergeben, ob das Modell hinreichend genau das tatsächliche Verhalten wiedergibt. Ganz ähnlich verhält es sich bei einer Simulationsrechnung. Für jede einbezogene Alternative muss die Verteilungsfunktion bekannt sein. Das mittlere Verhalten ergibt sich dann absehbar aus der Kombination der Verteilungsfunktionen. Wird eine Abhängigkeit in die Kalkulation mit eingebaut, die stark richtungsweisend ist, wird damit das Resultat absehbar sein. Ein Erkenntnisgewinn stellt sich erst dann ein, wenn verschiedene Ansätze zu scheinbar den gleichen Ergebnissen führen, sich beim genaueren Hinsehen aber doch in einem oder mehreren Aspekten unterscheiden. Ein weiteres, wichtiges Einsatzfeld ergibt sich, wenn fluktuierende, seltene Ereignisse aus den Kombinationen der Ausläufer der Verteilungsfunktionen betrachtet werden sollen. Hier liegt die eigentliche Stärke der Monte Carlo Verfahren. Bei der Beschreibung von Tumorwachstum und Metastasierung wäre man hingegen froh, zumindest das Gros der Tumore korrekt beschreiben zu können.

Alle drei oben angesprochenen Methoden haben den Nachteil einer komplexen Reanalyse oder von zeitaufwendigen Neuberechnungen, wenn sich Eingangsfunktionen oder selbst nur die Randbedingungen ändern. Systematische Untersuchungen oder die Analyse von metastasierungsmodellierender Ereignisse sind aufgrund der Komplexität oder des Rechenaufwandes weitestgehend unmöglich.


Im Folgenden soll nun ein einfaches Modell vorgestellt werden, das entstanden ist, um sich mit relativ geringem, rechnerischen Aufwand einen Überblick über Tumorwachstum und Größenverhältnisse bei dem Metastasierungsgeschehen zu verschaffen. Dabei liegt der Schwerpunkt der Untersuchung nicht auf der detailgetreuen Nachbildung der Tumorentwicklung, sondern auf der zeitlichen Abfolge, der für die Erkrankung Krebs charakteristischen Entwicklungsschritte. Nicht warum und wie passiert etwas, sondern was kann zwingend abgeleitet werden, wenn ein beobachtbares Ereignis wie das Auftreten von Metastasen, zu einem definierten Zeitpunkt eingetreten ist.

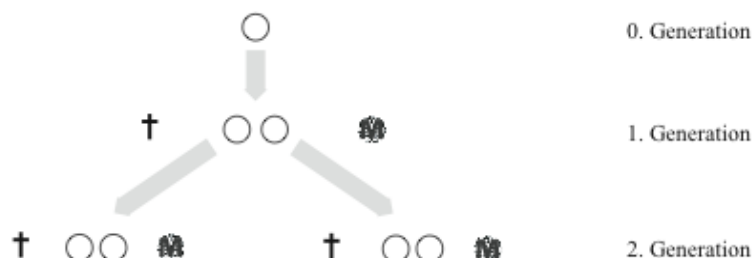
Die Entwicklung der Modelle und die Berechnungen hierzu werden quasi zeitnah in dem Graphik- und Analysepaket *root* (Brun und Rademacher 2007) das unter Beteiligung vieler weiterer internationaler Gruppen am europäischen Kernforschungszentrum CERN entwickelt wurde, durchgeführt.

Generationenfolgen

Das Modell geht davon aus, dass eine Tumorzelle genau drei Möglichkeiten hat sich zu entwickeln:

1. sie durchläuft erfolgreich die Mitose, teilt sich dabei und erzeugt eine Tochterzelle (Index *d* für Verdopplung),
2. sie stirbt spontan oder z.B in der G₀-Phase der Mitose ab (Index *a* für Apoptose),
3. sie verlässt den Zellverband und erhält Anschluss an das Gefäßsystem (Index *m* für Metastasierung).

Anhand der folgenden Abbildung sollen die Entwicklungsschritte verdeutlicht werden, die Symbole  stehen für Metastasierung, † für Apoptose und ○○ für Verdopplung.



Jedem dieser drei Prozesse wird ein exponentielles Zeitverhalten mit entsprechendem Zeitverhalten, beschrieben durch $\lambda_{a,m,d} = \log(2)/T_{a,m,d}$ zu Grunde liegen. Für die folgende Betrachtung vernachlässigt man, dass sich die Prozesse eventuell zeitlich überlappen können. Ablösung vom Zellverbund bevor die vorangegangene Mitose beendet ist, ist ausgeschlossen. Der Prozess, der zuerst eingeleitet wird legt die Entwicklung fest. Das heißt aber, dass die gemeinsame Ereigniszeitverteilung ebenfalls ein exponentielles Verhalten zeigt mit $\lambda_G = \lambda_d + \lambda_a + \lambda_m$ und der Generationenzeit $T_G = \log(2)/\lambda_G$. Die jeweiligen Anteile ergeben sich zu $A_i = \lambda_i / \sum \lambda_i$ und nehmen die Werte a, m und d an, wobei definitionsgemäß gilt $(a + m + d) = 1$.

Ein aus einer Zellteilung hervorgegangenes Paar erzeugt in der nächsten Generation, also nach einer weiteren mittleren Zeit T_G , eine der folgenden neun Zustände mit den jeweiligen, unter den Kombinationen stehenden Wahrscheinlichkeiten:



In Zellzahlen ausgedrückt sind das $4 \cdot d \cdot d + 2 \cdot 2 \cdot a \cdot d + 2 \cdot 2 \cdot m \cdot d$. Berücksichtigt man nun die vorausgegangenen Teilungen, ergibt sich die Zahl der Zellen zu:

$$2^{(n-2)} d^{(n-1)} (4 \cdot d \cdot d + 2 \cdot 2 \cdot a \cdot d + 2 \cdot 2 \cdot m \cdot d) = (2 \cdot d)^n.$$

Entsprechend kann für die Zahl der sich absiedelnden, potentiell metastatischen Zellen in der n-ten Generation angesetzt werden:

$$2^{(n-2)} d^{(n-1)} (m \cdot m + 2 \cdot m \cdot a + 2 \cdot m \cdot d) = (2 \cdot d)^{(n-1)} \cdot m.$$

Die Gesamtzahl der metastatischen Zellen bestimmt sich daher durch die Summation über alle Generationen ($n=1,2,3,\dots,N$), was unter Ausnutzung der Eigenschaften von geometrischen Folgen vereinfacht dargestellt werden kann durch:

$$\sum (2 \cdot d)^{(n-1)} \cdot m = m \cdot [((2 \cdot d)^N - 1) / ((2 \cdot d) - 1)]$$

Obige Gleichung bestimmt die Zahl der Zellen, die sich vom Primärtumor gelöst haben und sich zum Zeitpunkt $N \cdot T_G$ in der Gefäßbahn befinden. Ohne Einschränkung der Gültigkeit des Ansatzes kann die Gleichung dahingehend modifiziert werden, dass die Rate für das Ablösen maligner Zellen nicht über alle Generationen konstant ist. Damit gleichbedeutend ist, dass nur ein Teil der Zellen als Ursprungszellen für den Ablösungsprozess eingehen, die spätere Metastasierung z.B. nur proportional zur Oberfläche des Tumors erfolgt.

Verschiedene Faktoren sorgen dafür, dass potentielle maligne Zellen in dem Gefäßsystem nur eine endliche Aufenthaltszeit haben. Sie sterben entweder ab oder es gelingt ihnen, sich in einem bindegewebigen Struma eines Organs als Metastasen anzusiedeln. Diese Prozesse werden ebenfalls ein exponentielles Zeitverhalten mit der Zeitkonstanten λ_{Blut} , die sich wie oben beschrieben gleichfalls aus den verschiedenen Anteilen für das Absterben λ_t oder das Ansiedeln λ_s zusammensetzt, zeigen. Der Beitrag einer beliebigen Generation n in der Blutbahn zur Zeit $N \cdot T_G$ wird daher auf den Anteil $\exp [-\lambda_{\text{Blut}} \cdot (N-n) \cdot T_G]$ reduziert. Die aus dem Blut „entfernten“ Zellen bestimmen sich zu 1 minus diesen Faktor. Hiervon fällt der Anteil $\lambda_s / \lambda_{\text{Blut}}$ auf Zellen, die sich im Gewebe ansiedeln. Aufsummieren über alle Generationen führt zu der Zahl der Metastasen:

$$M_G = \sum (2 \cdot d)^{(n-1)} \cdot m \cdot (1 - \exp [-\lambda_{\text{Blut}} \cdot (N-n) \cdot T_G]) \cdot \lambda_s / \lambda_{\text{Blut}}$$

Die im vorstehenden angegebenen Gleichungen skizzieren lediglich die Methode. Die Berechnungen sind dahin gehend verfeinert, dass der Untergang maligner Zellen im Blut bereits in der Generation erfolgen kann, zu der sie abgesetzt worden sind. Darüber hinaus ist berücksichtigt, dass T_G und oder die verschiedenen Raten nicht über alle Generationen konstant sein müssen.

Programmtechnisch reduziert sich die Berechnung auf eine Schleife über N Generationen, jeder Zyklus generiert unter anderen die Zellzahl des Primärtumors, die Zahl der in das Gefäßsystem abgegebenen malignen Zellen und die Anzahl der sich im Gewebe absiedelnder potentieller Metastasen. Unter der Voraussetzung, dass die Metastasierungsrate einer Metastase der des Primarius gleicht, kann mit der im ersten Programmteil erstellten Verteilungsfunktion ebenfalls die Metastasierung höherer Ordnungen durchgerechnet werden. Dabei ist es nicht zwingend, dass eine Metastase das gleiche Wachstumsverhalten zeigt wie der Primärtumor. Gleichfalls kann berücksichtigt werden, dass all diese Prozesse auf Ein-Zell-Ebene ablaufen. Sowohl die Metastasenbildung eines „realen“ Tumors, als auch die seiner Tochtergeschwüre kann komplett auf der Basis von ganzen Zellen berechnet und individuelle Durchläufe für mehrere tausend Tumore rasch generiert werden.

Als zentrale Idee des hier dargelegten Modells kann die Generationenzeit T_G angesehen werden. Jeweils nach einem Zyklus ist eine der drei Möglichkeiten - Verdopplung, Apoptose oder Ablösung vom Zellverbund - pro Zelle des Primärtumors erfolgt. Um einen beliebigen Wachstumsprozess des Primarius nachzubilden, bieten sich im Prinzip zwei extrem gegensätzliche Ansätze an: zum einen kann T_G variiert werden bei konstanten Raten, oder zum anderen lässt man T_G konstant und verschiebt das Verhältnis der Raten zueinander. Ein weiterer Vorteil dieser Modelle ist, dass sich beide Ansätze biologisch motivieren lassen. Eine Verlängerung der Generationenzeit z.B. kommt einem natürlichen Alterungsprozess gleich, bei dem alle Vorgänge langsamer ablaufen. Verschieben sich hingegen die Raten untereinander, bedeutet dies, dass

bestimmte Abläufe im Metabolismus oder der Mitose einer Zelle quasi außer Kontrolle geraten.

Dass der oben beschriebene, vergleichsweise einfache Ansatz durchaus in der Lage ist, auch komplexe Wachstumskurven von Tumoren nachzumodellieren, wird durch einen Vergleich mit der häufig in der Literatur zu findenden Gompertzfunktion gezeigt.

Vergleich zwischen IKS-Modell und Generationenmodell

Das weiter oben angeführte IKS-Modell macht bei bekannter Wachstumsfunktion des Primärtumors Aussagen über den zeitlichen Verlauf der Dichteverteilung von Metastasen. Die Übereinstimmung zwischen der analytisch hergeleiteten, theoretischen Lösung, wenn für die Wachstumsfunktion die Gompertzfunktion angenommen wird, und klinischen Daten konnte anhand des Krankheitsverlaufs eines hepatozellulären Karzinoms gezeigt werden. Bei diesem konkreten Fall wurde über einen Zeitraum von etwa zwei Jahren sowohl das ungestörte Wachstum des Primarius, als auch das Erscheinen und Heranwachsen von Lebermetastase dokumentiert. Eine Anpassung der Dichteverteilung konnte somit an Daten eines längeren Zeitraums erfolgen, und es konnten die in das IKS-Modell eingehenden Parameter, maximal erreichbare Tumorgroße b , Wachstumsrate μ , die Metastasierungsrate γ und die Proportionalität α zwischen Zellzahl des Tumors und der Metastasierungsrate bestimmt werden. Mit diesen Parametern bestimmt sich die im Generationenmodell zu Beginn bestehende Verdopplungszeit zu $T_D = -1/\mu \cdot \log(1 - \log(2)/\log(b))$. Im Generationenmodell führt nur der Anteil d für Verdopplung zu Tumorwachstum, daher gilt für die Generationenzeit: $T_G = T_D \cdot \log(2-d)/\log(2) = \log(2)/\lambda_G$. Die Umsetzung der Gompertzfunktion geschieht wie oben angedeutet auf zweierlei Wegen. Im ersten Fall wird T_G mit $\log(b/x)$ variiert, wobei x die Zellzahl des Tumors vor Beginn einer neuen Generation ist. Mit zunehmender Größe des Tumors wird T_G daher immer länger, bis die Zeit für eine neue Generation gegen unendlich geht und das Tumorwachstum zum Erliegen kommt. Das Modell wird im Weiteren als „Metabolischer Stillstand“ (MS-Modell) bezeichnet. Bei der zweiten Realisation verringert sich der Anteil d der Verdopplung und der Anteil a für Apoptose nimmt um den gleichen Anteil zu. Die prozentuale Verschiebung wird dazu durch eine Anpassung an die nachzubildende Wachstumskurve bestimmt. Die Generationenzeit bleibt über die gesamte Tumorentwicklung konstant. Der Tumor zeigt eine gleich bleibende Aktivität, nur dass die Mitose nicht erfolgreich durchlaufen wird, sondern sich teilende Zellen in immer größeren Maß absterben. Dieser Ansatz wird als das Modell der „Generationen abhängigen Raten“ (GDR-Modell) bezeichnet. Beide Ansätze sind recht gute Näherungen und beschreiben die theoretische Wachstumskurve hinreichen genau. Systematische Unterschiede finden sich nur im Bereich des Schmiegeverhaltens bei asymptotisch erreichbarer maximaler Tumorgroße b . Mit diesen beiden Ansätzen wurde das Generationenmodell durchgerechnet und die kumulierte Zahl an Metastasen mit einer Mindestgröße bestimmt. Dabei wurde wie beim IKS-Modell angenommen, dass Metastasen mit der gleichen Geschwindigkeit und bis zur gleichen maximalen Größe wachsen wie der Primärtumor. Die notwendige Normierung erfolgt bei einer Koloniegröße von $\sim 4.6 \cdot 10^7$ Zellen. Beide Realisationen sind in der Lage, die theoretische Verteilungskurve nahezu perfekt zu beschreiben. Ein gravierender Unterschied zwischen dem MS-Modell einerseits und dem GDR-Modell und den Ergebnissen des IKS-Modells besteht in der Annahme über die Proportionalität zwischen der Zellzahl der Primarius und der Metastasierungsrate. Während bei den

letzteren nur eine Abhängigkeit zur Oberfläche des Primärtumors besteht ($\sim V^{2/3}$), nehmen im MS-Modell alle Zellen ($\sim V$) potentiell am Ablösungsschritt, dem ersten Schritt zur Metastasierung teil, um die kumulierte Anzahl an Metastasen nach Datenlage zu beschreiben. Im MS-Modell stecken hinsichtlich der Metastasierung intrinsisch zwei Dämpfungen: zum einen durch das Gompertzartige Wachstum des Tumors, zum anderen durch die Streckung der Generationenzeit, nach der Metastasen im Mittel erst zu immer größeren Zeitabständen abgesetzt werden. Im Generationenmodell sind die Zahlen der Metastasen des Primärtumors und die Zahlen der nächsten Ordnungen – Metastasen von Metastasen – im Gegensatz zum IKS-Modell zugänglich. In dem konkreten Fall trägt nur die erste Ordnung der Metametastasen nennenswert (30-50%) zur Gesamtzahl der Tochtergeschwüre bei, höhere Ordnungen treten zu den betrachteten Zeiten noch nicht auf. Sichtbare Metastasen stammen ausschließlich direkt vom Primarius ab.

Systematische Untersuchungen

Eine der entscheidenden Fragen bei der Erstdiagnose Krebs ist die, ob der Primärtumor bereits Metastasen abgesetzt hat. Im klinischen Alltag wird in der Regel Organ- und Tumorspezifisch gezielt nach sichtbaren Tochtergeschwüren gesucht. Ein positiver Befund verändert dann meist dramatisch die Behandlungsstrategie und die Prognose. Trotz immer verbesserter bildgebender Verfahren bleibt auf Grund der Nachweis-schwelle im sichtbaren Bereich eine gewisse Unsicherheit. Hilfreich wäre hier, den Zeitpunkt des Absetzens der ersten Metastase genauer eingrenzen zu können.

In Abhängigkeit von der maximal erreichbaren Tumorgröße wurden beide Modelle dahingehend untersucht. Um einen direkten Vergleich zu haben, wurden für die Proportionalität zwischen der Metastasierungsrate und der Zellzahl die für den IKS-Vergleich bestimmten $V^{2/3}$ -Abhängigkeit für das GDR-Modell und eine V -Abhängigkeit für das MS-Modell gewählt. Die Metastasierungsraten entsprachen ebenfalls den im IKS-Vergleich ermittelten. Als Tumorverdopplungszeit wurde 5, 10 – für das IKS-Modell oben wurden 9,8 Tage bestimmt – und 20 Tage angenommen. Um systematische Unterschiede besser herausarbeiten zu können, wurden zusätzlich Berechnungen durchgeführt, bei denen die Metastasierungsrate auf ein Zehntel reduziert bzw. für die Proportionalität die nächst niedrigere Potenz – entsprechend der Reihe Volumen, Oberfläche und Durchmesser – angesetzt wurden. Für maximale Tumorgrößen $>10^9$ Zellen besteht bei beiden Modellen mit $f(b) \sim -1/\mu \cdot \log(1 - \log(\beta)/\log(b))$ ein eindeutiger funktionaler Zusammenhang zwischen Tumorgröße und Zeitpunkt der ersten Metastase, wobei μ die Wachstumsrate der Gompertzfunktion ist und β von μ und der Absiedlungscharakteristik (V , $V^{2/3}$ und $V^{1/3}$) abhängt. Der Zeitpunkt der frühesten Metastase zeigt in beiden Modellen zu kleineren, maximalen Tumorgrößen ein asymptotisches Verhalten. Doch gibt es hier zwei wichtige Unterschiede. Zum einen stimmt im MS-Modell dieser asymptotische Wert recht genau mit dem Zeitpunkt der größten Zellzunahme des Primärtumors überein, während dieser im GDR-Modell deutlich zu viel später liegenden Zeiten verschoben ist. Zum anderen liegt die Wahrscheinlichkeit für das Eintreten des Metastasierungsprozesses im MS-Modell im Prozentbereich, während im GDR-Modell im Beobachtungszeitraum von 25 Jahren definitiv Metastasen abgesetzt werden. Im MS-Modell gilt: im Endstadium relativ kleine Tumore metastasieren selten, aber wenn, dann geschieht dieses vergleichsweise früh. Im GDR-Modell gilt die Regel: je kleiner die Endgröße eines

Tumor sein wird, umso später besteht die Tendenz zu metastasieren. Im Gegensatz zum MS-Modell läuft der Metastasierungsprozess auch dann noch ab, wenn sich die Größe des Primärtumors nicht mehr ändert.

Eine klinische Anwendung

Nachdem gezeigt wurde, dass sich eine gute Übereinstimmung mit dem IKS-Modell herstellen lässt, wurde die Anwendbarkeit der Methode auf weitere Krebsarten ausgedehnt. Dazu wurden Brustkrebsdaten des Münchener Tumor Registers aus zwei Publikationen von Engel und Hölzl (Engel et al. 2003, Hölzl et al. 2001) ausgewählt. Wir folgen hierbei der Argumentation, dass das mittlere Alter von Patientinnen, die bei Erstdiagnose pT1- bzw. pT2-Stadien aufweisen, ebenfalls die mittlere Tumorentwicklung widerspiegelt. Geht man von einem Gompertzartigen Tumorwachstum aus, können dann für verschiedene maximale Tumorgrößen der Krankheitsbeginn und die Wachstumsrate angefitet und das MS- und das GDR-Modell durchgerechnet werden. Bei der Anpassung nicht betrachtet wurden pT3/4-Stadien, da für pT3 das mittlere Alter deutlich unter dem des pT1-Stadiums lag und pT4 zu einem unerwartet späten mittleren Alter diagnostiziert wurde. Die Größe, auf die wir uns konzentrieren wollen, ist der Anteil der Krankheitsfälle, bei denen bereits bei Erstdiagnose eine primäre Metastasierung vorlag. Diese betrug 1.1% für das pT1-Stadium und 4.2% für das pT2-Stadium. Trotz der oben gemachten Einschränkungen für die pT3/4-Stadien, soll die Rate von 21% für die primäre Metastasierung bei Erstdiagnose im pT4-Stadium als Anhaltspunkt für die spätere Krankheitsentwicklung bei der folgenden Beurteilung mit betrachtet werden.

Im MS- und im GDR-Modell wurden für verschiedene, maximal erreichbare Tumorgrößen zwischen $5 \cdot 10^{10}$ und 10^{13} Zellen jeweils 2000 Krankheitsfälle ausgelost und der Anteil an sichtbarer Metastasierung für die verschiedenen pTx-Stadien bestimmt. Die Berechnungen erfolgten dabei für verschiedenste Abhängigkeiten der Metastasierung vom Volumen des Tumors ($\sim V$, $\sim V^{2/3}$ und $\sim V^{1/3}$) und zusätzlich für Ansätze, bei denen das Wachstum der Metastasen künstlich herabgesetzt wurde. Bei diesen modifizierten Wachstumsverhalten startete im MS-Modell das Metastasenwachstum mit der entsprechenden Generationenzeit zu der sie abgesetzt worden waren. Im GDR-Modell wurde die herabgesetzte Verdopplungsrate vom Muttergeschwür übernommen. Die Normierung für den Anteil an primärer Metastasierung erfolgte auf die 1.1%, die das Münchener Tumor Register für das pT1-Stadium angibt. Keine der herkömmlichen Parametrisierungen war bei der gegebenen Normierung in der Lage, die geringen Werte von 4.2% und 21% für die späteren Tumorstadien zu reproduzieren. Lediglich die $V^{1/3}$ -Abhängigkeiten mit reduziertem Wachstum konnten die vorgegebenen Werte erreichen bzw. unterschreiten. Das MS-Modell mit künstlich reduziertem Metastasenwachstum ist das einzige Modell, das die drei geforderten primären Metastasierungsraten gleichzeitig reproduzieren kann. Eine gute Übereinstimmung ergibt sich für maximale Tumorgrößen zwischen $2.5 \cdot 10^{11}$ und 10^{12} Zellen. Auch ist eine geeignete Kombination verschiedener Volumen-Abhängigkeiten in der Lage, die Datenlage zu reproduzieren, zumal davon ausgegangen werden kann, dass sich der Datensatz aus unterschiedlichen Tumorentitäten zusammensetzt.

Zusammenfassung

Es konnte gezeigt werden, dass die hier entwickelten Modelle in sehr guter Übereinstimmung mit der analytischen Lösung des IKS-Modells von Iwata, Kawasaki und Shigesada sind. Dieses ist bemerkenswert, weil es sich um einen vergleichsweise einfachen Modellansatz mit einer sich anschließenden, gradlinigen Simulationskette handelt, während das IKS-Modell eine komplexe, analytische Lösung für die zeitliche Entwicklung der Dichtefunktion von Metastasen ist. Darüber hinaus konnte gezeigt werden, dass die aufgestellten Wachstums- und Metastasierungsmodelle prinzipiell in der Lage sind, Brustkrebsdaten des Münchener Krebsregisters zu beschreiben. Es bieten sich zwei Varianten an: zum einen beschreibt das MS-Modell mit biologisch motivierbarer, reduzierter Wachstumsfunktion der Metastasen und einer Metastasierungsrate proportional zum Durchmesser die Datenlage hinreichend genau. Zum anderen besteht innerhalb beider Modelle die Möglichkeit, durch eine geeignete Kombination verschiedener Volumen-Abhängigkeiten die vom Münchener Krebsregister vorgegebenen primären Metastasierungsraten zu reproduzieren. Hierzu wird eine kleine, aber früh metastasierende Komponente benötigt, welche die pT1-Daten wiedergibt und eine langsame $V^{1/3}$ -Abhängigkeit, die den weiteren Verlauf mit den geringen Anzahlen an Metastasenbildung bestimmt. Bevor jedoch eine abschließende Aussage gemacht werden kann, sollten detailliertere und hinsichtlich verschiedener Tumorentitäten differenziertere Daten zugrunde gelegt werden.

Literaturverzeichnis

Becker N, Wahrendorf J, Krebsatlas der Bundesrepublik Deutschland 1981-1990 und Fortschreibung im Internet: www.dkfz.de/krebsatlas

Brun R, Rademaker F: Root User's Guide v5.26 (2011). [<http://root.cern.ch/drupal/content/users-guide>]

Engel J, Eckel R, Kerr J, Schmidt M, Fürstenberger G, Richter R, Sauer H, Senn HJ, Hölzel D: The Process of Metastatisation for Breast Cancer, *Europ J of Cancer* 2003, 39:1794-1806

Hölzel D, Engel J, Schmidt M, Sauer H: Modell zur primären und sekundären Metastasierung beim Mammakarzinom und dessen klinische Bedeutung, *Strahlenther Onkol* 2001,1:10-24

Iwata K, Kawasaki K, Shigesada N: A Dynamical Model for the Growth and Size Distribution of Multiple Metastatic Tumours, *J Theor Biol* 2000, 203:177-186

Roose T, Chapman SJ, Maini PK: Mathematical Models of Avascular Tumour Growth, *SIAM Review* 2005, 49:179-208

Struckmeier J: A Mathematical Investigation of a Dynamical Model for the Growth and Size Distribution of Multiple Metastatic Tumours, *Hamburger Beiträge zur Angewandten Mathematik*, 2002:1-13

Ward JP, King JR: Mathematical modelling of avascular tumour growth, *IMA J Math Appl Medicine Biol.* 1997, 14:36-69.

Ward JP, King JR: Mathematical modelling of avascular tumour growth. II. Modelling growth saturation, *IMA J Math Appl Medicine Biol.* 1999, 16:171-211.

Danksagung

Den Grundstein für die vorliegende Arbeit legte Prof. Schumacher durch seine vielseitige Interessiertheit und offene Art, durch die wir uns bereits im Grundstudium kennen lernten. Auf ihn geht die Idee zurück, seinen medizinischen Weitblick und Ideenreichtum mit den analytischen Fähigkeiten eines Physikers zu einer gemeinsamen Arbeit über Tumorwachstum und Metastasierung zu verbinden. Über all die Jahre war er ein wichtiger Motivator und wertvoller Ideengeber.

Ihm gilt mein Dank, nicht zuletzt dafür, dass er mir durch eine Anstellung an seinem Institut und seine unermüdliche Mitarbeit an der Publikation, die Fertigstellung der Arbeit ermöglichte.

Bedanken möchte ich mich ebenfalls bei Dr. J. Prahl, meinem ehemaligen Mitdoktoranden vom astrophysikalischen HEGRA-Experiment. Er hat die Energie aufgebracht, die mathematische Herleitung des IKS-Modells mit mir zu diskutieren und konnte wichtige Hinweise zu ihrem Verständnis beitragen.

Erklärung des Eigenanteils an der Publikation

Der nachstehende Absatz ist der im Journal of Clinical Bioinformatics erschienenen und vorne eingebundener Publikation entnommen, wobei die Kürzel VH bzw. US für die beiden Autoren Volker Haustein und Udo Schumacher stehen:

VH did the writing of the programme for the calculations and wrote the first version of the manuscript. VH and US contributed and participated equally in the design of the general outline of the work. US helped in finalising and editing of the final version of the manuscript.

Eidesstattliche Versicherung

Ich versichere ausdrücklich, dass ich die Arbeit selbständig und ohne fremde Hilfe verfasst, andere als die von mir angegebenen Quellen und Hilfsmittel nicht benutzt und die aus den benutzten Werken wörtlich oder inhaltlich entnommenen Stellen einzeln nach Ausgabe (Auflage und Jahr des Erscheinens), Band und Seite des benutzten Werkes kenntlich gemacht habe.

Ferner versichere ich, dass ich die Dissertation bisher nicht einem Fachvertreter an einer anderen Hochschule zur Überprüfung vorgelegt oder mich anderweitig um Zulassung zur Promotion beworben habe.

Unterschrift: